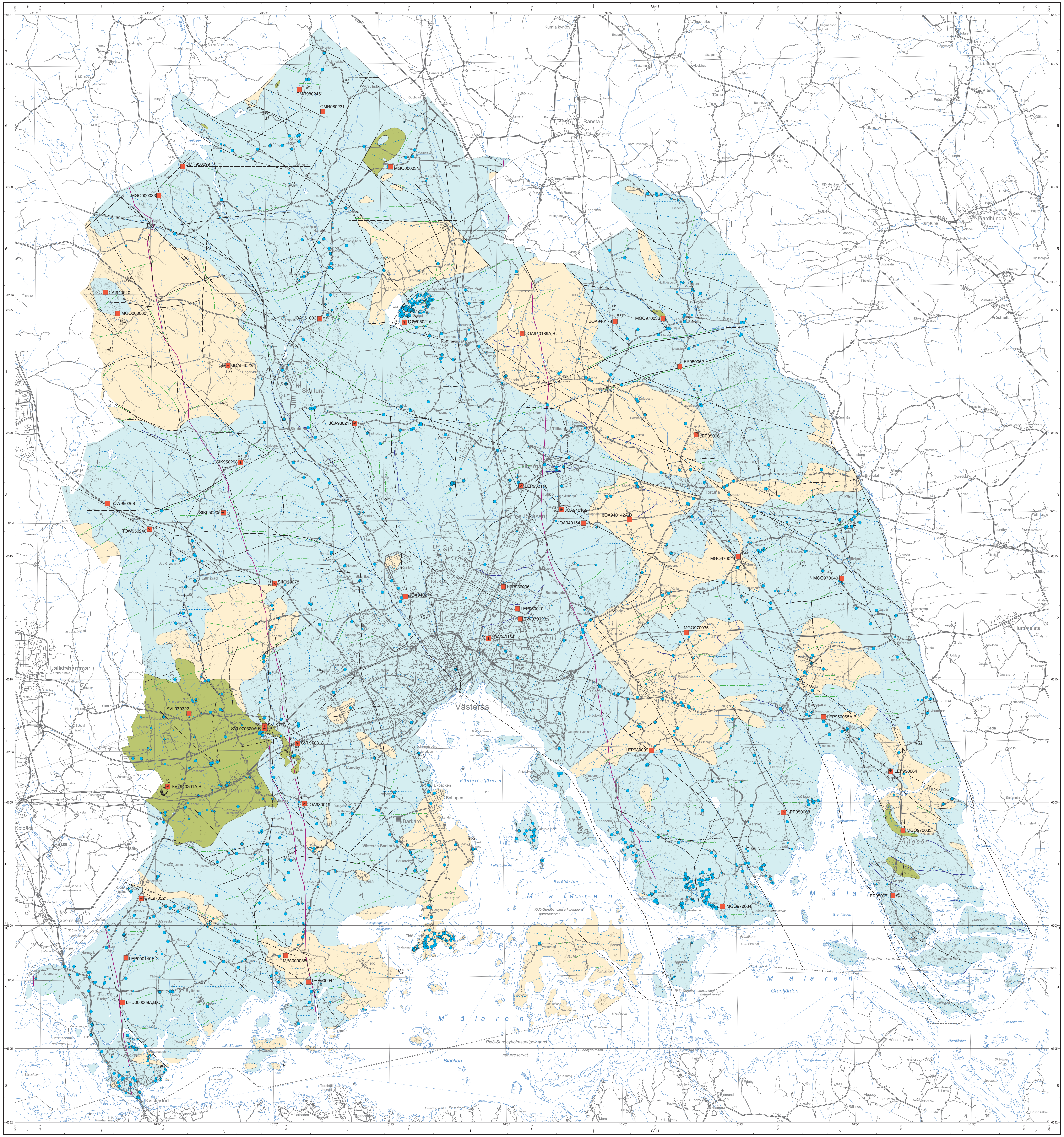
e
f
g
h
i
j
G–H
a
b
c
d
1524
1525
1530
1535
1540
1545
1550
1555
1560
1565
1566
16°15'
16°20'
16°25'
16°30'
16°35'
16°40'
16°45'
16°50'
16°55'
6637
6635
6630
6625
6620
6615
6610
6605
6600
6595
6592
59°45'
59°40'
59°35'
59°30'
CMR980245
CMR980231
CMR950099
MGO000031
MGO000033
CAI940040
MGO000060
JOA951003
TOW950216
JOA940225
JOA930217
SIK950208
TOW950268
SIK950205
TOW950246
SIK950278
JOA940274
JOA940178
MGO970036
JOA940189A,B
LEP950062
LEP950061
LEP930140
JOA940152
JOA940142A,B
JOA940154
MGO970049
MGO970040
LEP980006
LEP980010
SVL970323
JOA940164
MGO970035
LEP950065A,B
LEP980009
LEP950064
LEP950063
MGO970033
LEP950071
MGO970034
SVL970322
SVL970319
SVL970320A,B
SVL970318
SVL940201A,B
JOA930019
SVL970321
LEP000140A,C
MPA000038
LEP000044
LHD000068A,B,C
Kumla kyrkby
Ransta
Tärna
Simtuna
Fjärdhundra
Alltuna
Skultuna
Tillberga
Hökåsen
Tortuna
Badelunda
Västerås
Irsta
Kungsåra
Ängsö
Hallstahammar
Kolbäck
Strömsholm
Dingtuna
Barkarö
Lillhärad
Skerike
Västerås-Barkarö
Kvicksund
Hummelsta
Teda
Bred
Frösthult
Kärrbo
Mälaren
Västeråsfjärden
Ridöfjärden
Granfjärden
Blacken
Galten
Ridö-Sundbyholmsarkipelagens naturreservat
Ängsöns naturreservat
Svartån
Sagån

🟩 Häll
Outcrop

🟩 Bergkvalitetsklass 1
Bedrock quality class 1

🟦 Bergkvalitetsklass 2
Bedrock quality class 2

🟨 Bergkvalitetsklass 3
Bedrock quality class 3

♀ ⊘ Sulfidmalmsgruva, nedlagd, t.v., sulfidmineralisering, t.h.
Sulphide mine, abandoned, left, sulphide mineralization, right

✳ 1,1 / 2,1 Punktangivelse för radiumindex (rak text) och gammaindex (kursiv text)
Location of radium index determination (plain text) and gamma index determination (italic text)

▽ Stenbrott, nedlagt
Quarry, abandoned

⬭ Större bergtäkt, i drift
Large quarry, in operation

Strukturella formlinjer, plastisk deformation
Structural form lines, ductile deformation

Deformationszon, ospecificerad
Deformation zone, unspecified

Spröd deformationszon (spricka, förkastning)
Brittle deformation zone (fracture, fault)

Spröd till plastisk skjuvzon, ospecificerad
Brittle to ductile shear zone, unspecified

Lineament, indikerat från höjddata
Lineament, indicated from topographical data

Vatten- och/eller lerfylld spröd svaghetszon, indikerat från VLF
Brittle deformation zone filled with water and/or clay, indicated from VLF data

Zon med förhöjd magnetisering och elektrisk ledningsförmåga. Grafit- och sulfidförande horisonter
Zone with increased magnetization and electric conductivity. Graphite and sulphide-bearing horizons

M B Mylonit, t.v., breccia, t.h.
Mylonite, left, breccia, right

🟥 JOA940189 Provpunkt med provnummer
Sample location and sample number

● ● ● Djup till urberget, <2, 2–5 och >5 meter (data från SGUs brunnsarkiv)
Depth to crystalline bedrock, <2, 2–5 and >5 metres (information from SGU's Archives on wells)

Diabas eller diabassvärm, <50 m bred gång
Dolerite, dyke or swarm of dykes, <50 m wide dyke

Radiumindex är ett mått på radiuminnehållet i en bergart och beräknas genom bestämning av urankoncentrationen i bergarten. 16,2 ppm uran motsvarar aktivitetskoncentrationen 200 Bq/kg radium-226, vilket i sin tur motsvarar radiumindex 1,0. Gammaindex, $m\gamma$ (Åkerblom m. fl. 1990), är beräknad enligt formeln "$m\gamma = C_K/3000 + C_{Ra}/300 + C_{Th}/200$" där C_K, C_{Ra} och C_{Th} är aktivitetskoncentrationen av K^{40}, Ra^{226} respektive Th^{232}, alla i enheten Bq/kg, (The Radiation Protection Authorities in Denmark, Finland, Iceland, Norway and Sweden 2000). Halterna av kalium, uran och torium redovisas i massandelar som procent för kalium och miljondelar (ppm) för uran och torium. Halterna kan omräknas till Bq/kg enligt sambanden: 1% K = 313 Bq/kg, 1 ppm U = 12,35 Bq/kg och 1 ppm Th = 4,06 Bq/kg.

JOA930019
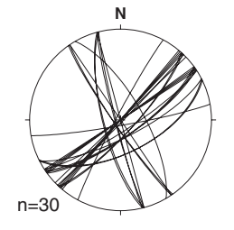

JOA930217
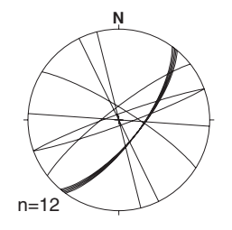

JOA940142
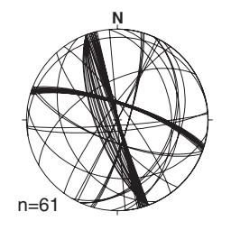

JOA940154
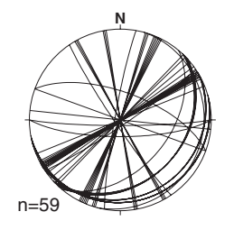

JOA940189
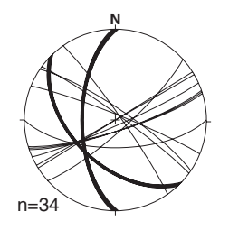

JOA940225
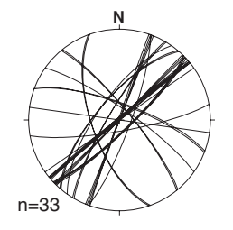

JOA940274
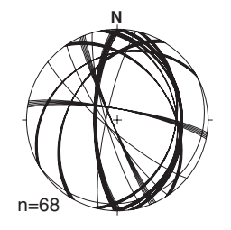

LEP950063
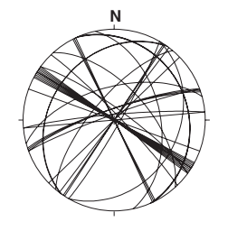

LEP950064
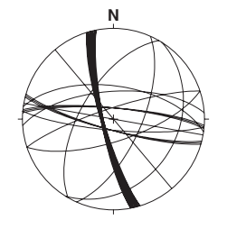

LEP950071
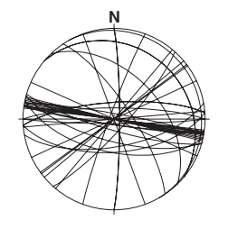

LEP980006
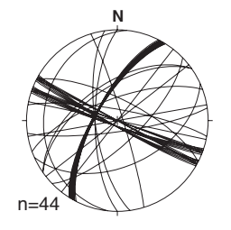

LEP980009
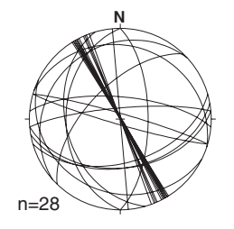

LEP980010
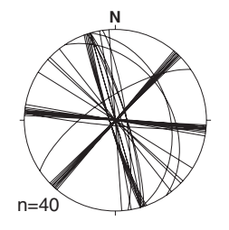

MGO970033
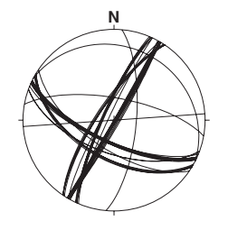

SIK950205
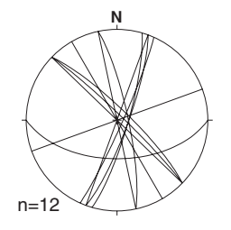

SIK950208
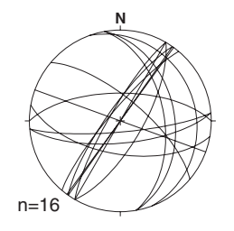

TOW950216
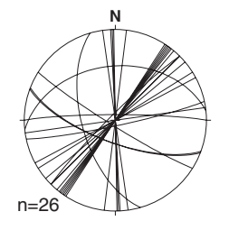

TOW950268
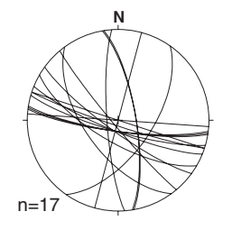

SVL940201
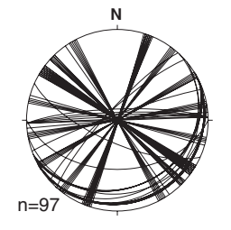

SVL970318
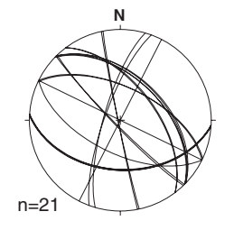

SVL970319
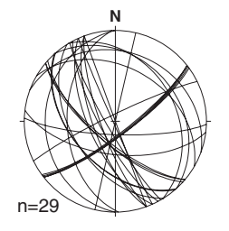

SVL970320
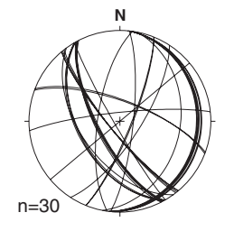

SVL970322
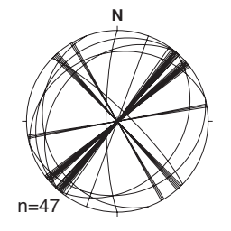

SGU serie K 75

Bergkvalitetskartan

Västerås kommun

Bedrock quality map

Skala 1:50 000

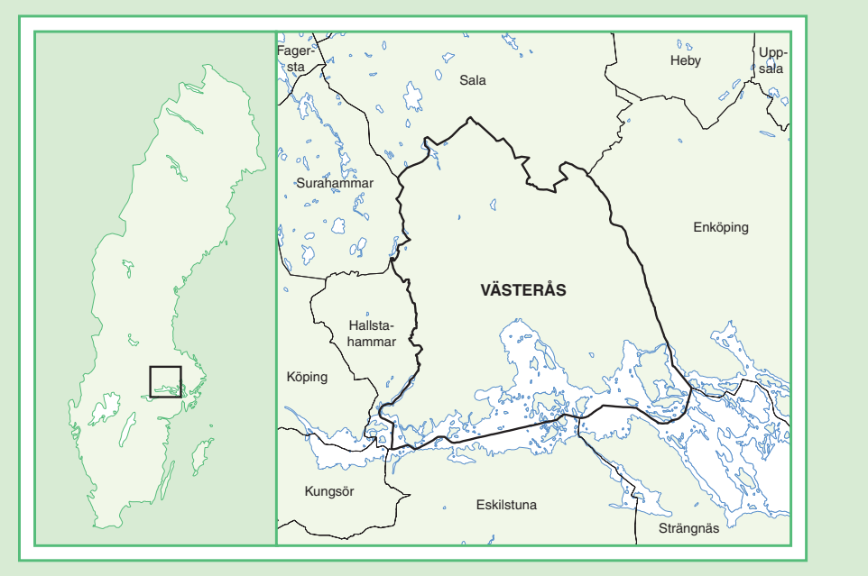
Fager-sta
Sala
Heby
Upp-sala
Surahammar
Enköping
VÄSTERÅS
Hallsta-hammar
Köping
Kungsör
Eskilstuna
Strängnäs

2007

MAGNETISK ANOMALIKARTA

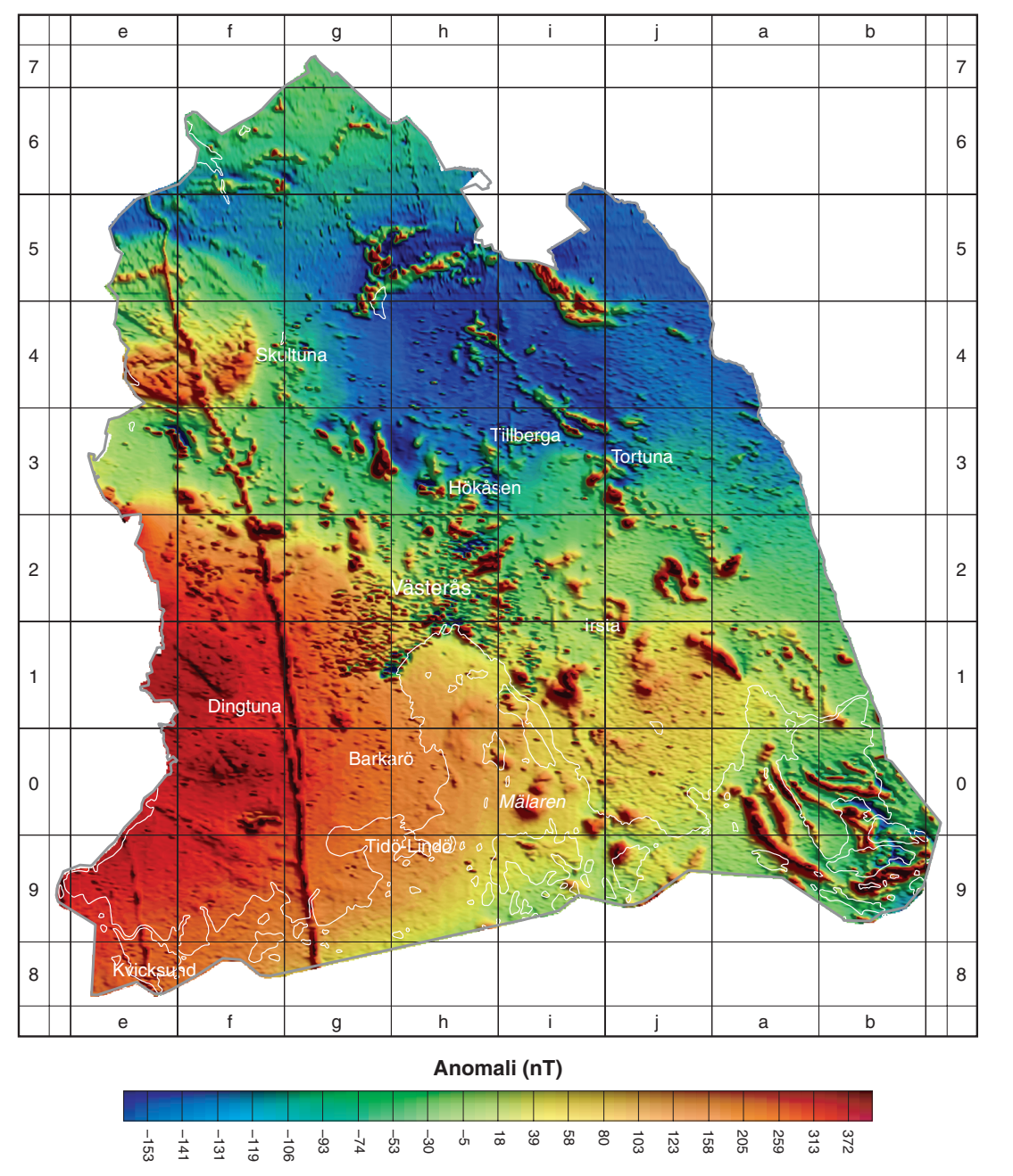
e
f
g
h
i
j
a
b
7
6
5
4
3
2
1
0
9
8
Skultuna
Tillberga
Tortuna
Hökåsen
Västerås
Irsta
Dingtuna
Barkarö
Mälaren
Tidö-Lindö
Kvicksund
Anomali (nT)
−153
−141
−131
−119
−106
−93
−74
−53
−30
−5
18
39
58
80
103
123
158
205
259
313
372

Magnetisk anomalikarta över Västerås kommun (skala 1:350 000). Magnetiska data är reducerade till epok 1965.0. Kartan visar totalfältets avvikelser från DGRF 1965.0. Den baseras på mätningar utförda på 30 meters flyghöjd med ett linjeavstånd av 200 m. Flygriktningen är nord–sydlig, med undantag av den nordligaste delen av området på vilket flygriktningen är öst–västlig. Mätningarna utfördes under åren 1971–1993.

VLF-KARTA

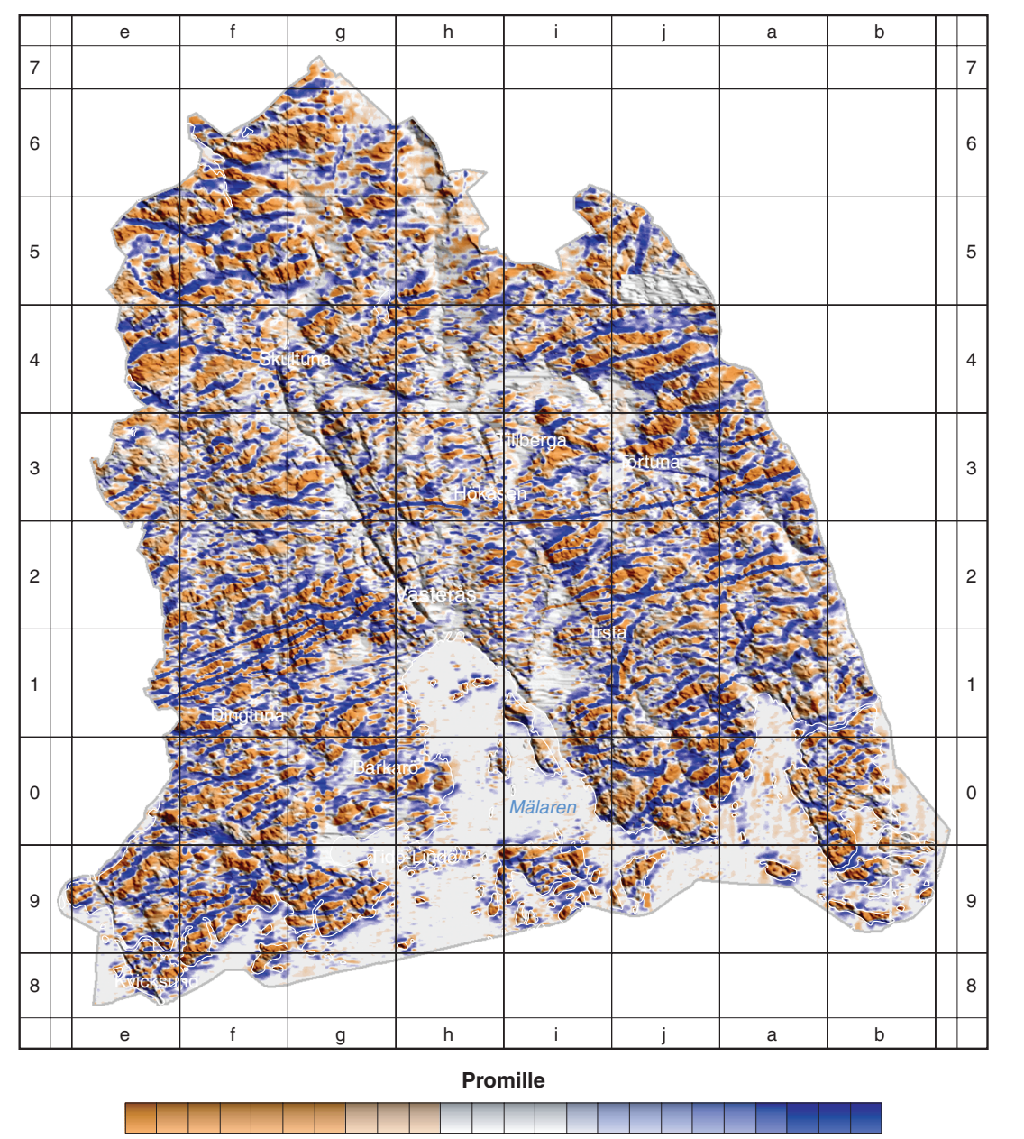
e
f
g
h
i
j
a
b
7
6
5
4
3
2
1
0
9
8
Skultuna
Tillberga
Tortuna
Västerås
Irsta
Dingtuna
Barkarö
Mälaren
Promille
850
877
898
915
930
943
955
967
976
984
990
997
1003
1009
1017
1025
1036
1048
1064
1083
1107
1143
1205

VLF-karta över Västerås kommun (skala 1:350 000). Kartan visar den relativa totalintensiteten av det sekundärt inducerade elektromagnetiska fältet, vilket ger ett mått på den relativa elektriska ledningsförmågan. Den baseras på mätningar utförda på 30 meters flyghöjd med ett linjeavstånd av 200 m. Flygriktningen är nord–sydlig, med undantag av den nordligaste delen av området på vilket flygriktningen är öst–västlig. Mätningarna utfördes under åren 1971–1993.

STRÅLNINGSKARTA

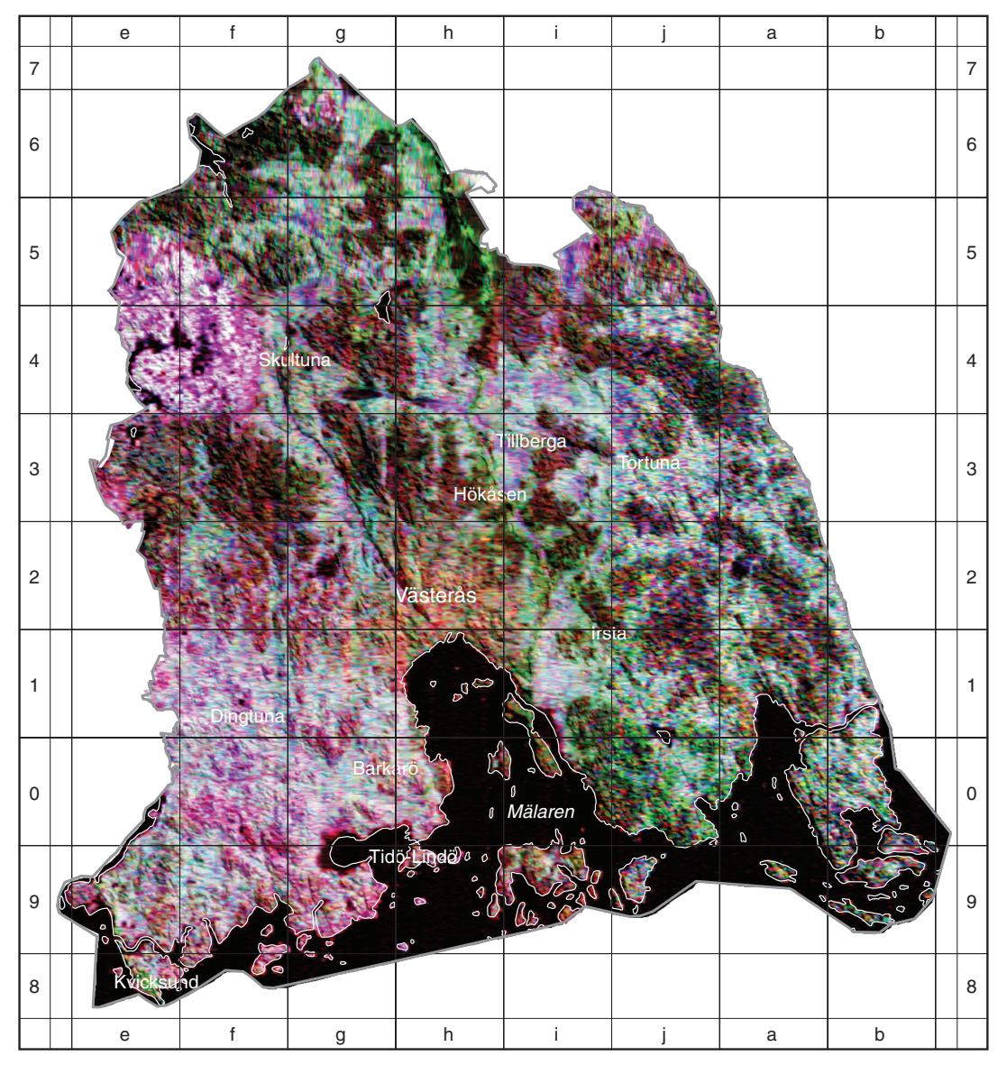
e
f
g
h
i
j
a
b
7
6
5
4
3
2
1
0
9
8
Skultuna
Tillberga
Tortuna
Hökåsen
Västerås
Irsta
Dingtuna
Barkarö
Mälaren
Tidö-Lindö
Kvicksund

K-U-Th-kompositkarta över Västerås kommun. (skala 1:350 000). Kartan visar en färgkomposit av de beräknade halterna av uran, kalium och torium i respektive färgband. De individuella komponenterna har normaliserats till 256 diskreta klasser baserat på medelvärdet i respektive komponent. Värden överstigande medelvärdet plus två standardavvikelser har tilldelats maximal färgstyrka, medan värden understigande medelvärdet minus två standardavvikelser har tilldelats minimal färgstyrka. Däremellan har en linjer sträckning applicerats. Områden med förhöjd uran domineras av röda färgnyanser, områden med förhöjd torium indikeras av blåa färgnyanser medan förhöjd kaliumhalter visas med gröna färgnyanser.

BOUGUERANOMALIKARTA

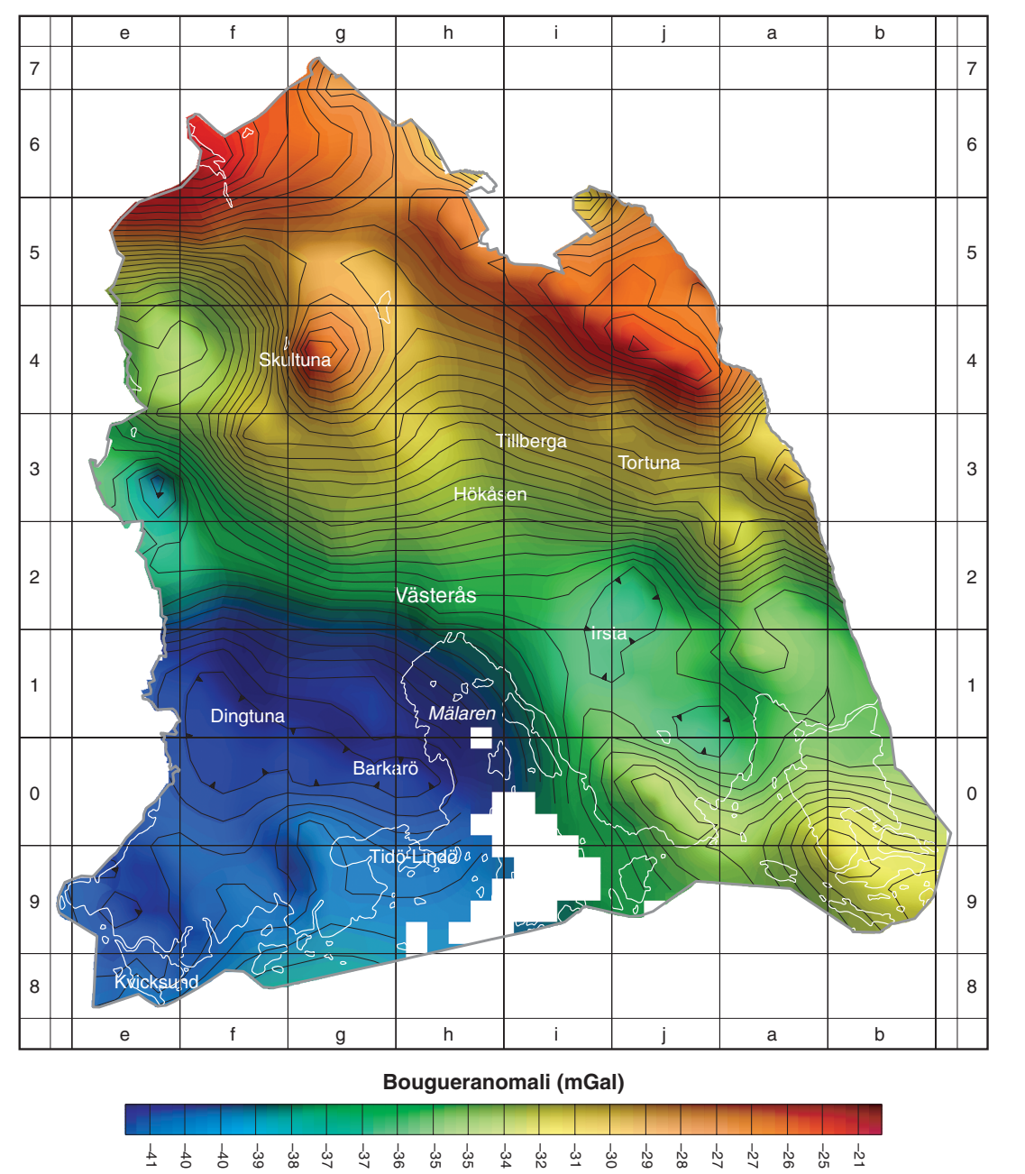
e
f
g
h
i
j
a
b
7
6
5
4
3
2
1
0
9
8
Skultuna
Tillberga
Tortuna
Hökåsen
Västerås
Irsta
Dingtuna
Barkarö
Mälaren
Tidö-Lindö
Kvicksund
Bougueranomali (mGal)
−41
−40
−40
−39
−38
−37
−37
−36
−35
−35
−34
−32
−31
−30
−29
−28
−27
−27
−26
−25
−21

Bougueranomalikarta över Västerås kommun (skala 1:350 000). Kartan visar variationer i tyngdkraftsfältet uttryckt som bougueranomali (IGSN71) och baseras på mätningar med ett mätpunktsavstånd av ca 2 km.

0 1 2 3 4 5 km

Skala 1:50 000

Topografiskt underlag: Ur Terrängkartan.
©Lantmäteriverket. Ärende nr M2005/2355.
Geografiska längden är räknad från Greenwich, Gauss' projektion.

Godkänd från sekretessynpunkt för spridning. Lantmäteriet 1996-10-30

Huvudkontor/*Head Office:*
Box 670
Besök/*Visit*: Villavägen 18
SE-751 28 Uppsala, *Sweden*
Tel: +46(0) 18 17 90 00
Fax: +46(0) 18 17 92 10
E-post: sgu@sgu.se
URL: http://www.sgu.se

Filialkontor/*Regional Offices:*
Geovetarcentrum
Guldhedsgatan 5A
SE-413 20 Göteborg, *Sweden*
Tel: +46(0) 31 708 26 50
Fax: +46(0) 31 708 26 75
E-post: gbg@sgu.se

Kiliansgatan 10
SE-223 50 Lund, *Sweden*
Tel: +46(0) 46 31 17 70
Fax: +46(0) 46 31 17 99
E-post: lund@sgu.se

Skolgatan 4
SE-930 70 Malå, *Sweden*
Tel: +46(0) 953 346 00
Fax: +46(0) 953 216 86
E-post: minko@sgu.se

Box 16247
SE-103 24 Stockholm, *Sweden*
Tel: +46(0) 8 545 21 500
Fax: +46(0) 8 24 68 14
E-post: stockholm@sgu.se

© Sveriges geologiska undersökning (SGU), 2007

Medgivande behövs från SGU för varje form av mångfaldigande eller återgivande av denna karta.
Detta innefattar inte bara kopiering utan även digitalisering eller överföring till annat medium.

Arbetet påbörjades 2000 och har utförts under ledning av Lars Persson. Berggrundsinformation från tidigare karterade områden har under arbetets gång erhållits av Jan-Olov Arnbom (Västerås SO), Magnus Ripa (Västerås NO) och Lars Persson (Eskilstuna NO, Enköping SV). Malin Sträng har utfört geologiskt karteringsarbete. I arbetet i övrigt har deltagit Ildiko Antal Lundin (geofysik), Lutz Kübler (geofysik), Mattias Göransson (provtagning, sammanställningar, tester och tolkningar), Lisbeth Hildebrand (fältarbete och sammanställningar), Lars Persson (geologiska undersökningar och sammanställningar, mikroskopering, provtagning) och Sven Lundqvist (mikroskopering). Marjo Savukoski och Björn Schouenborg, Sveriges Provnings- och Forskningsinstitut, SP, Borås har utfört testningen med Los Angelestrumma samt bedömt ASR-risker. Kartan är sammanställd av Ildiko Antal Lundin, Mattias Göransson, Lisbeth Hildebrand och Lars Persson. Slutlig digitalisering och renritning i digital form har gjorts av Ingemar Källberg och Hinayo Masaki.

Kartan kan levereras som utskrift eller i digitalt format.

ISSN 1652-8336
ISBN 978-91-7158-786-2

Referens till kartan: Persson, L., Antal, I., Göransson, M. & Hildebrand, L., 2007: Bergkvalitetskartan Västerås kommun. *Sveriges geologiska undersökning K 75.*
Reference to the map: Persson, L., Antal, I., Göransson, M. & Hildebrand, L., 2007: Bedrock Quality Map of Västerås municipality. *Sveriges geologiska undersökning K 75.*

SGU Serie K 75
BERGKVALITETSKARTAN
VÄSTERÅS KOMMUN